

СВЕРХПРОВОДЯЩИЙ ПЕРЕХОД ИНДИЕВЫХ НИТЕЙ ПРИ 6К

В.Н.Богомолов, Н.А.Клужин, Ю.А.Кумзиров

В работе путем понижения размерности образца (тонкие нити с диаметром $\sim 20 - 30\text{\AA}$) удалось повысить T_K индия до $\sim 6\text{K}$.

Известно, что при диспергировании сверхпроводников T_K может быть повышена и тем в большее число раз, чем меньше параметр электрон-фононного взаимодействия в формуле БКШ. Сверхпроводники с сильной электрон-фононной связью типа Hg или Pb практически не меняют T_K при диспергировании. Это хорошо изучено на примере тонких пленок и пористых стекол с вдавленным в них металлом (характерный размер до $\sim 30\text{\AA}$). Индий, у которого параметр электрон-фононного взаимодействия несколько меньше, чем у Hg и Pb, меняет T_K в пленках и стеклах в $\sim 1,3$ раза (до $\sim 4,5\text{K}$) [1, 2]. Большую величину T_K In в пленках получить не удавалось.

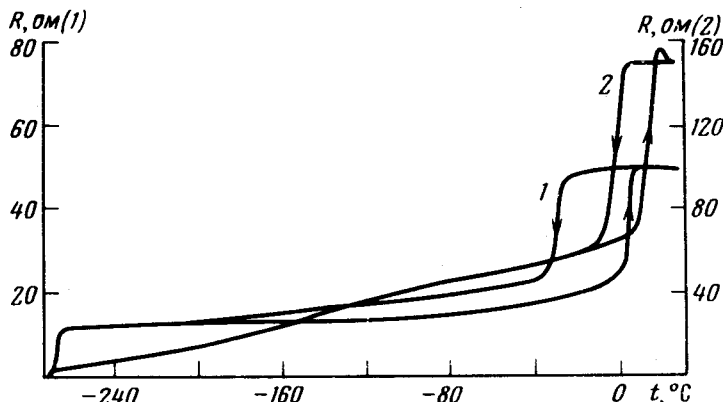


Рис. 1. Температурный ход сопротивления нитей In: 1 — нити с диаметром $\sim 20 - 30\text{\AA}$; 2 — нити с диаметром $\sim 40 - 70\text{\AA}$

Поскольку размерные эффекты в тонких нитях ("одномерность") должны проявляться сильнее, чем в пленках ("двумерность"), нам представлялось интересным измерить сверхпроводящие свойства таких нитяных объектов. Для In это было тем более интересно, что у ртутных нитей (сверхпроводник с сильной электрон-фононной связью) изменения критической температуры практически нет [3].

Индиеевые нити приготавливались по аналогичной технологии. Электрический контакт к таким индииевым нитям в каналах асбеста осуществлялся через массивную ртуть. Было приготовлено два образца: один с диаметром нитей $\sim 20 - 30\text{\AA}$ и второй с диаметрами $\sim 40 - 70\text{\AA}$. На рис. 1 показан температурный ход сопротивления для "тонких" — 1 и "толстых" — 2 нитей In. Качественно о величине диаметров можно судить по: 1) скачку сопротивления при плавлении и затвердевании;

2) уменьшению температуры плавления и затвердевания и гистерезису, 3) температурному ходу сопротивления твердых нитей In, 4) размытию сверхпроводящего перехода (см. [3]).

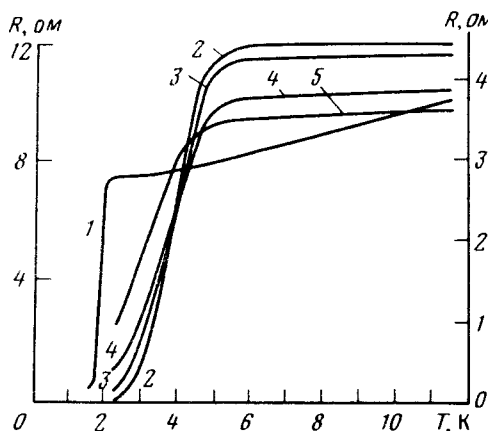


Рис. 2. Сверхпроводящий переход нитей In: 1 – нити с диаметром $\sim 40 - 70\text{ \AA}$ (ток 20 мка , правая шкала); 2 – 5 – нити с диаметром $20 - 30\text{ \AA}$ (левая шкала); 2 – ток 10 мка , 3 – 100 мка , 4 – 500 мка , 5 – 1 ма

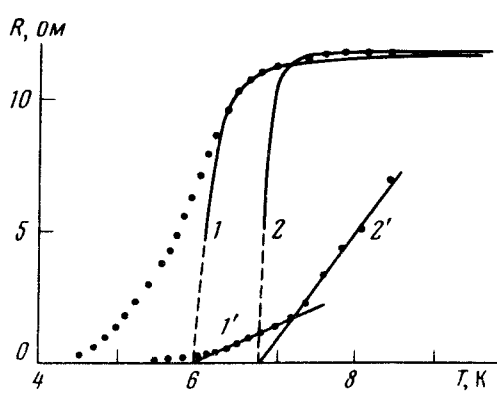


Рис. 3. Сверхпроводящий переход нитей In с диаметром $\sim 20 - 30\text{ \AA}$ (ток – 10 мка), точки – эксперимент. 1 – $R(T)$ соответствует зависимости, $\sigma' = 4 \cdot 10^{-1} \sigma_N \left(\frac{T_c}{T - T_c} \right)^{3/2}$,

$T_c = 5,95\text{ K}$; 2 – $R(T)$ соответствует зависимости $\sigma' = 5,5 \cdot 10^{-2} \sigma_N \left(\frac{T_c}{T - T_c} \right)^{3/2}$,

$T_c = 6,77\text{ K}$. 1, 2 – те же зависимости в координатах $(\sigma')^{-2/3}$ – температура. В таких координатах T_c определяется пересечением прямых с осью T . (точки – экспериментальные значения $(\sigma')^{-2/3}$).

На рис. 2 и 3 приведены зависимости сопротивления от температуры в области сверхпроводящего перехода. Величина размытия перехода по температуре у "толстых" нитей $\sim 0,1\text{ K}$, у "тонких" $\sim 3\text{ K}$. Одновременно с резким нарастанием ширины перехода, которое, вероятно вызвано флуктуациями [3], наблюдается также заметный сдвиг середины перехода до $\sim 5,9\text{ K}$. Для In такая температура сверхпроводящего перехода получена впервые, и причиной этого, по нашему мнению, является размерность образца (нити в отличие от пленок). Это же является, по-видимому, главной причиной возрастания роли флуктуаций. Кроме увеличения T_K можно выделить следующие особенности: 1) уменьшение сопротивления с ростом тока выше перехода у "тонких" нитей (аналогично эффекту, замеченному на нитях Hg [3]) – см. рис. 2; 2) дополнительная флуктуационная проводимость в области выше $6,3\text{ K}$ может быть удовлетворительно описана зависимостью $\sigma' =$

$$= A \sigma_N \left(\frac{T_c}{T - T_c} \right)^{3/2} \text{ с } A = 4,1 \cdot 10^{-1}, T_c = 5,95 \text{ K} (\sigma' = \sigma - \sigma_N, \sigma_N - \text{проводимость образца в нормальном состоянии})$$

мостью образца в нормальном состоянии) до 7,15 K; после излома кривой $R(T)$ при $T = 7,15 \text{ K}$ проводимость может быть описана такой же зависимостью, но с $A = 5,5 \cdot 10^{-2}$, $T_c = 6,77 \text{ K}$ (см. рис. 3).

Такая температурная зависимость соответствует результатам [4], однако удивительным является разбиение температурного интервала на две области с разными значениями параметров. Природа этого явления остается неясной, хотя подобное поведение наблюдалось нами на образцах Hg и Ga.

Физико-технический институт
им. А.Ф.Иоффе
Академии наук СССР

Поступила в редакцию
4 июня 1977 г.

Литература

- [1] W. Buckel, R. Hilsch. Z. Phys., 138, 109, 1954.
- [2] J.H.P. Watson. Phys. Rev., 148, 223, 1966.
- [3] В.Н.Богомолов, Ю.А.Кумзеров. Письма в ЖЭТФ, 21, 434, 1975.
- [4] Л.Г.Асламазов, А.И.Ларкин. ФТТ, 10, 1104, 1968.